

ARTICLE

Received 28 Oct 2016 | Accepted 30 Mar 2017 | Published 24 May 2017

DOI: 10.1038/ncomms15447

OPEN

In situ dynamic tracking of heterogeneous nanocatalytic processes by shell-isolated nanoparticle-enhanced Raman spectroscopy

Hua Zhang¹, Chen Wang¹, Han-Lei Sun¹, Gang Fu¹, Shu Chen², Yue-Jiao Zhang¹, Bing-Hui Chen¹, Jason R. Anema¹, Zhi-Lin Yang², Jian-Feng Li^{1,2} & Zhong-Qun Tian¹

Surface molecular information acquired *in situ* from a catalytic process can greatly promote the rational design of highly efficient catalysts by revealing structure-activity relationships and reaction mechanisms. Raman spectroscopy can provide this rich structural information, but normal Raman is not sensitive enough to detect trace active species adsorbed on the surface of catalysts. Here we develop a general method for *in situ* monitoring of heterogeneous catalytic processes through shell-isolated nanoparticle-enhanced Raman spectroscopy (SHINERS) satellite nanocomposites (Au-core silica-shell nanocatalyst-satellite structures), which are stable and have extremely high surface Raman sensitivity. By combining operando SHINERS with density functional theory calculations, we identify the working mechanisms for CO oxidation over PtFe and Pd nanocatalysts, which are typical low- and high-temperature catalysts, respectively. Active species, such as surface oxides, superoxide/peroxide species and Pd-C/Pt-C bonds are directly observed during the reactions. We demonstrate that *in situ* SHINERS can provide a deep understanding of the fundamental concepts of catalysis.

¹MOE Key Laboratory of Spectrochemical Analysis and Instrumentation, State Key Laboratory of Physical Chemistry of Solid Surfaces, iChEM, College of Chemistry and Chemical Engineering, Xiamen University, Xiamen 361005, China. ²Department of Physics, Research Institute for Biomimetics and Soft Matter, Xiamen University, Xiamen 361005, China. Correspondence and requests for materials should be addressed to J.-F.L. (email: Li@xmu.edu.cn) or to B.H.C. (email: chenbh@xmu.edu.cn) or to G.F. (email: gfu@xmu.edu.cn).

Under a dig. c-e-aci i elai. h. ad eaci. echa i. i f. i g. i c. a. i. l. a. c. e. i. h. e. a. i. a. l. d. a. i. g. f. h. i. g. h. l. e. f. c. i. o. c. a. a. l. i. ¹⁵. A. f. e. e. i. e. e. i. g. k. i. d. e. l. e. e. b. b. h. e. f. a. c. e. a. d. h. e. e. i. c. a. l. c. i. o. i. ⁶, ¹⁶, ch. g. o. h. a. b. e. o. a. d. e. i. h. i. a. e. a. H. e. e. e. c. h. a. l. l. o. g. e. a. c. i. a. e. d. i. h. h. e. e. a. i. i. f. d. e. l. e. e. e. i. d. o. i. a. l. c. a. a. l. i. e. a. i. ⁸. Th. h. e. d. e. l. e. f. i. n. s. i. t. u. f. a. c. e. a. l. i. e. c. h. i. o. h. a. c. a. b. e. e. d. e. d. e. a. c. i. o. c. c. i. g. e. a. c. i. c. a. l. i. h. i. g. h. d. a. i. a. b. l. e. F. e. a. l. e. e. i. n. s. i. t. u. e. c. h. i. o. i. d. i. g. o. i. o. a. l. i. i. i. e. l. e. c. t. r. i. c. c. , h. i. g. h. e. c. a. t. i. g. e. l. i. g. i. c. c. (STM), a. b. i. o. e. X. a. h. e. l. e. c. t. r. i. c. c. (XPS) a. d. X. a. a. b. i. e. c. c. h. a. e. b. e. o. a. l. i. e. d. e. d. a. c. a. a. l. i. a. d. e. a. l. e. c. t. r. i. c. a. b. i. o. h. e. c. a. a. l. i. a. d. e. k. i. g. c. o. d. i. i. o. , c. h. a. c. a. f. a. c. e. i. o. , c. h. e. i. c. a. a. , h. l. g. i. a. d. c. d. i. a. i. o. i. o. ^{17,18}. Th. e. e. k. h. a. e. g. e. a. l. i. e. d. e. d. e. a. d. i. g. f. c. a. a. l. i. i.

O. e. f. h. e. e. i. d. e. l. e. d. e. f. a. c. e. a. l. i. e. c. h. i. o. i. i. n. s. i. t. u. i. f. a. e. d. (IR) e. c. c. , w. h. i. c. h. c. a. n. i. d. e. i. c. h. i. f. a. i. o. a. b. i. o. e. f. a. c. e. c. e. ¹⁹, a. c. i. e. i. e. ²⁰ a. d. e. a. c. i. o. e. c. h. a. i. ²¹. H. e. e. e. i. i. e. d. i. f. f. i. c. l. f. i. n. s. i. t. u. IR. d. e. e. c. i. e. e. d. i. a. e. i. h. i. g. a. l. i. h. e. l. y. a. o. b. e. e. g. i. f. h. e. e. c. i. o. c. a. s. , h. e. l. y. a. o. b. e. e. g. i. i. a. c. c. e. s. s. i. b. l. e. b. R. a. a. e. c. c. ²². Th. i. e. c. h. i. o. i. h. a. b. e. o. e. d. i. d. e. i. f. i. e. e. d. i. a. e. e. c. i. o. c. h. a. e. a. l. C. b. o. d. , a. c. i. e. g. o. e. c. i. o. , h. d. l. g. e. a. d. o. f. a. c. e. i. d. ²³ ²⁵, b. i. g. e. a. l. , a. l. R. a. a. e. c. c. i. o. i. o. i. e. o. g. h. i. i. o. a. c. e. a. a. f. f. a. c. e. e. c. i. o. e. a. l. c. a. a. l. i. S. f. a. c. e. h. a. c. e. d. R. a. a. c. a. e. i. g. (SERS) h. a. b. e. o. e. l. e. d. c. i. c. o. h. i. l. i. a. i. o. , a. i. f. f. e. a. e. o. d. e. i. e. o. i. o. i. i. i. i. ^{10⁷} ^{10¹⁰} i. o.) a. d. c. a. e. o. b. e. e. d. e. d. e. c. i. g. l. e. l. e. c. t. r. ²⁶ ²⁹. N. e. e. h. e. l. o. , i. l. a. f. e. e. a. l.

(i. a. i. l. A. , A. g. a. d. C.) i. h. a. e. c. e. d. e. f. a. c. e. i. d. e. a. l. a. g. e. SERS e. f. f. e. c. ³⁰. Th. , i. i. g. c. a. l. i. c. c. a. o. c. c. i. g. e. h. e. e. a. l. e. a. i. a. g. e. a. c. h. a. l. l. e. g. e.

R. e. c. o. l. , g. i. o. e. d. a. e. l. e. c. h. i. e. l. y. a. i. h. e. l. l. i. l. a. e. d. a. a. i. c. l. e. h. a. c. e. d. R. a. a. e. c. c. 'SHINERS' ³¹, w. h. i. c. h. h. a. b. e. o. e. g. a. d. e. d. a. a. i. e. g. o. e. a. i. f. a. d. a. c. e. d. e. c. c. ³². I. SHINERS, h. a. i. c. A. a. a. i. c. l. e. (R. a. a. i. g. a. l. a. l. i. e. o.) a. e. c. a. e. d. w. i. h. i. h. l. e. f. e. e. i. l. i. c. a. h. e. l. l. h. a. e. o. . h. e. f. i. e. a. c. i. g. w. i. h. a. l. i. c. a. l. a. g. e. h. e. c. h. e. i. c. a. l. o. i. o. . Th. e. i. l. i. c. a. h. e. l. l. a. e. h. i. o. g. h. (j. o. a. c. l. e. f. o. e. e.) h. a. h. e. o. h. a. c. e. d. e. l. e. c. t. r. a. g. e. i. c. / e. l. d. g. o. e. a. e. d. a. h. e. f. a. c. e. f. h. e. c. e. e. o. d. b. e. e. d. h. e. f. a. c. e. f. h. e. h. e. l. l. SHINERS h. a. b. k. o. h. e. l. o. g. a. d. i. g. e. f. a. c. e. a. e. i. a. l. a. d. h. l. g. e. i. c. i. o. h. a. e. i. i. a. d. i. a. l. a. SERS. I. i. c. i. l. e. , h. e. SHINERS e. c. h. i. o. e. c. a. b. e. a. l. i. e. d. a. f. a. c. e. f. a. a. e. i. a. l. a. d. a. h. l. g. I. h. a. b. e. o. w. i. d. e. l. e. d. i. e. l. e. c. t. r. i. c. ^{31,33} ³⁵, l. i. f. e. c. i. o. c. e. ³⁶, h. e. a. e. i. a. l. a. d. e. i. c. i. d. c. i. d. o. ^{31,37}, l. a. o. e. g. e. a. g. e. a. d. c. o. e. i. o. ^{38,39}, a. d. d. a. i. l. l. i. f. e. ⁴⁰.

I. h. i. y. e. k. , w. e. d. e. l. a. i. l. e. a. e. g. e. c. o. c. A. -c. e. i. l. i. c. a. h. e. l. l. a. c. a. a. l. i. e. a. e. l. l. i. e. a. c. i. o. , w. h. i. c. h. w. e. c. a. l. l. SHINERS, a. e. l. l. i. e. c. o. Th. e. e. d. i. o. i. a. l. i. e. d. i. f. f. e. o. c. e. i. e. d. a. i. (3D-FDTD) i. l. a. i. o. d. e. e. a. e. h. a. R. a. a. i. g. a. l. f. c. h. e. i. c. a. l. e. c. i. o. h. e. a. e. l. l. i. e. c. o. a. e. g. e. a. l. a. l. i. e. d. b. h. e. l. a. i. c. a. c. i. i. f. h. e. c. e. , a. k. i. g. h. i. a. i. d. e. a. l. a. c. h. i. e. c. e. f. i. i. g. h. e. e. g. o. e. c. a. a. l. i. c. e. a. c. i. o. . W. i. h. h. i. o. a. e. g. w. e. h. a. e. b. a. i. e. d. d. i. e. c. e. c. c. i. c. e. i. d. o. c. e. f. h. e. f. a. i. o. f. e. a. l. -O. a. d. e. a. l. -C. b. o. d. , a. w. e. l. l. a. a. c. i. e. g. o. e. c. i. o. , d. i. g. CO i. d. a. i. o. . W. i. h. h. e. a. i. d. f. d. o. i. f. o. r. e. i. a. l. h. e. (DFT) c. a. l. c. u. l. a. i. o. , h. e. SHINERS- a. e. l. l. i. e. h. d. h. a. e. e. a. l. e. d. e. y. l. e. c. t. r. i. c. a. i. o. a. b. i. o. CO i. d. a. i. o. .

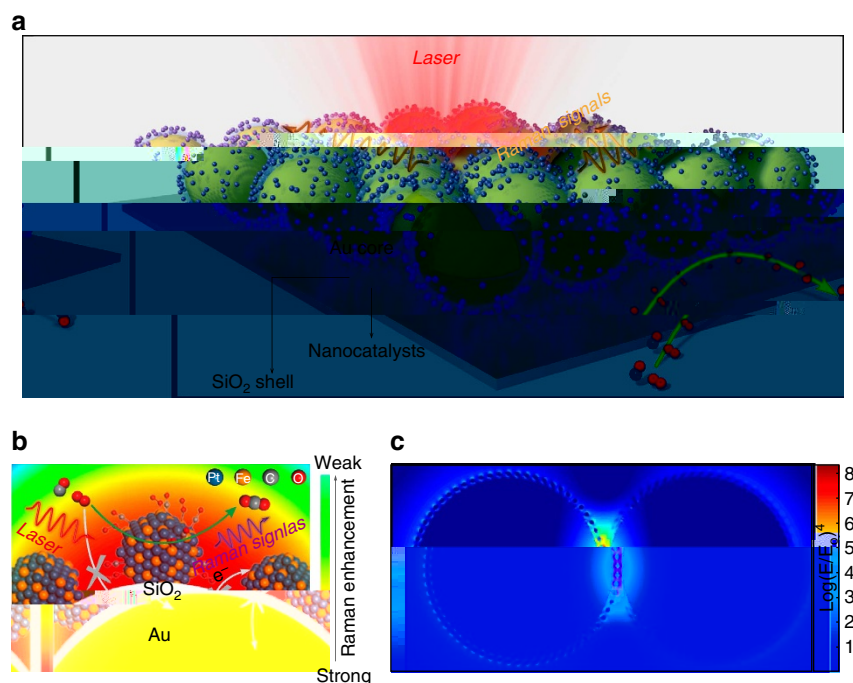


Figure 1 | Schematic illustration of a SHINERS-satellite study of a nanocatalytic process. (a) The Au-core silica-shell nanocatalyst-satellite architecture of SHIN-enhanced Raman spectroscopy (SHINERS)-satellite structures, and the mechanism for CO oxidation over PtFe bimetallic nanocatalysts revealed by our SHINERS-satellite method. The pinhole-free silica shell prevents the Raman signal amplifier from interfering with the system under study. (b) Schematic illustration of CO oxidation on PtFe. The blue, orange, grey and red spheres represent Pt, Fe, C and O atoms, respectively. (c) A 3D-FDTD simulation for a pair of Pt-on-shell isolated nanoparticle (SHIN) nanocomposite structures.

Results

Raman enhancement of SHINERS-satellite nanocomposites. I

SHINERS, ligh- d ced l cali ed. face la . . . ield a ea f
 o ha ced elec ag e ic eld. o gh a .he. face f .he A
 c e, a d .he elec ag e ic eld. o gh deca . e . . . iall
 -v i h di .a ce f .he. face f .he A c e de o d i g . . . ea -
 eld cha ac e i .ie ^{31,41}. Th . . -ve da ig ed a c e .hell, a elli e
 .a c . .ie . c e -v i h .he .a ca al . . . he ilica
 .hell, j .a c le f o .e e .a -v a f .he c e .h i -v a,
 Ra .a i g al f eac i .ie edia . . .he. face f .he
 ca al .a be a li ed effec i el .

The A - c e i l i c a h e l l a c a a l l e a c h i e c e i h . Fig. 1a. The SHINERS a e l l e c e i e a e d b c a i g a A a a i c l e i h a l a h i e i h l e f e e i l i c a h e l l h o a d d i g h e a c a a l l h e f a c e f h e h e l l . The i h l e f e e i l i c a h e l l e o a d i i f l e c l a f h e c h e i c a i o e h e A c e a d i a l e o a i e a c i b e h e a c a a l a d h e A c e (Fig. 1b). The i f a i a b h e e g o e c a a l i c e a c i c a c a b e b a i e d i h i k f i e f e c e b h e R a a i g a l a l i e . T c o h a h i c e i l l e f f e c i e l o h a c e R a a i g a l f e c i a h e a c a a l l e e l e c a g e i c e l d o g h i g a 3D-FDTD e h d i h i c h e e f e c l a c h e d e b d a c d i i e e a d a e d a i d o h i c a l e e c i a ⁴² . The c c e e l e c e d f d e l l i g a a 120 A c e i h a 2 i l i c a h e l l i g 2 P a c a a l l . The d i e l e c i c f c i i f A a d P e e a k o f a l i c e f c i o i g d e l f f e e d b L e i c a l S l i . Fig e l c h h a a e g i f e a d i a i l h i g h e l e c a g e i c e l d o g h (a - c a l l e d h .) c c i h e a a i c l e a i c l e j o i h o a a i f S H I N E R S a e l l e c a a e i l l i a e d i h a 633 l a e (h e a l e l d c a e e d e l d c e a c e d a a l i e a l l a i e d l i g h a l h e a i) . The 3D-FDTD i l a i i h h a R a a c a e i g f l e c l a h e a c a a l l l c a e d h e j o i b e h e h e l l i a e d a a i c l e (S H I N) l d b e h a c e d h e 8 d e f a g i d e h i c i i g o g h f l a o i i e d e c i o f a c e e c i a ³³ .

Synthesis of SHINERS-satellite nanocomposites. The α -cal., α -alli. α -e added. The face f. the SHIN. b. α -elf. α -e bl. ca. The α -h. i. f. SHIN. i. d. c. i. b. e. d. i. d. e. a. i. l. e. α -e. α -e⁴³. A. f. e. α -h. i. i. α -e. the SHIN. face i. e. g. a. i. e. l. cha. g. e. d. d. e. α -e. the α -c. e. f. c. i. α -e (S. le. α -a. Fig. 1). The P. Fe. b. i. e. allic. α -a. ca. al., which i. i. d. e. l. e. d. f. α -g. o. e. d. c. i. e. a. c. i. α -e. f. e. l. c. e. l. α -d. c. a. l. i. c. i. d. a. i. α -e. α -e. α -e. l. e. c. t. e. d. α -a. e. α -a. i. e. c. a. l. α -e. α -i. h. α -i. h. α -i. e. l. e. α -e. α -e. α -h. i. f. SHINERS. α -e. l. l. i. e. α -e. α -c. α -e. The α -h. i. α -d. cha. c. e. i. a. i. α -f. the α -a. ca. al., i. d. e. a. i. l. e. d. i. α -e. S. le. α -a. Me. h. d. The P. Fe. α -a. ca. al., α -e. e. d. i. e. d. α -c. e. a. e. a. i. i. e. l. cha. g. e. d. α -face (S. le. α -a. Fig. 1 3), α -d. i. e. d. α -i. h. α -e. g. a. i. e. l. cha. g. e. d. SHIN. (S. le. α -a. Fig. 1) α -a. c. h. i. e. α -e. α -e. l. f. α -e. bl. ca. Fig. e. 2a. c. l. e. a. l. α -h. α -e. d. a. α -h. a. α -e. l. i. g. a. α -a. i. c. l. a. h. a. e. a. c. e. h. e. l. l. a. e. l. l. i. e. α -i. e. d. a. c. h. i. e. c. e. α -e. α -e. α -e. i. f. α -e. d. e. α -e. e. a. d. b. α -e. α -e. l. e. α -e. α -a. α -i. Fig. 2b. α -d. α -e. h. i. g. h. α -e. l. i. α -e. α -e. α -i. i. α -e. l. e. c. α -e. i. c. c. (HR-TEM) i. a. g. a. α -i. S. le. α -a. Fig. 4. α -b. a. c. α -e. l. e. i. α -e. α -e. d. i. e. d. P. Fe. α -a. ca. al., α -e. e. d. d. α -a. l. α -e. f. SHIN. The d. i. d. α -e. a. d. h. e. α -e. α -e. i. l. i. c. a. α -e. face, d. e. α -e. a. i. g. α -h. a. d. i. c. a. i. α -f. α -e. P. Fe. α -a. ca. al., α -c. e. a. e. a. i. i. e. l. cha. g. e. d. α -face i. c. i. c. a. l. f. SHINERS. α -e. l. l. i. e. α -e. α -h. i. (S. le. α -a. Fig. 5).

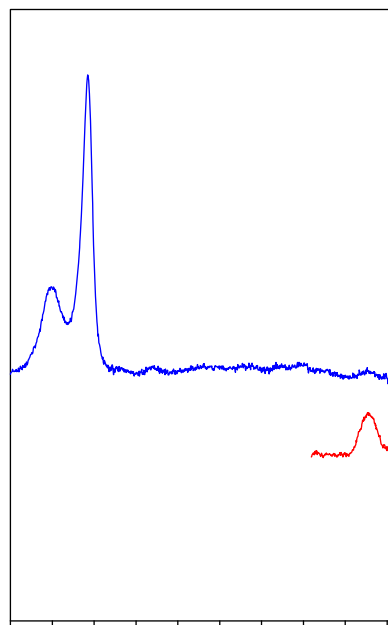
Though a . . . e . . . a i c . . . d , ~~v~~e f . . . d . ha . he . . . a eg
e . l . ed he e f . P . Fe . a . ca al . . . ca . be . . . ed . a . e . ble

The effect of a calcium - - - SHIN. c a
 (S le a Fig. 6). Fig e 2c.h - HR-TEM i aga f
 e allic P. d Pd. a ca al., bi e allic P. Pd d P. Fe
 a ca al., A @P. Fe c e hell. c a, PdFeC a -
 c ba, d CeO₂ d Fe₂O₃ e al. id. SHIN. The i e d
 hlg f. he e a ca al. e e e cha ged b. he elf-
 a e bl ca., d all f. he e e e ol di. ib. ed. he
 face f. he SHIN. Th., i i fea ible. d. c e-
 acii elai. hi. d eaci echa i. f he e go e.
 ca alic ca. b SHINERS afe ca ef ll ai la i g. he
 c ii. c e, hlg a d i e f. he a ca al.
 a ell.

CO oxidation over PtFe bimetallic nanocatalysts. SHINERS-
a ellie. c a yee he ed i ead . dia f CO
ida i. e P-g . a ca al. . Thi ca. i f gea
i . a ce i f da . al a ea ch, a d ha be ec gi ed a
a bo ch a k. . e f hee goe . ca al. i⁴⁶. I i al
i . a. f acical a lica i. . ch a o i . al
eci. ⁴⁷ a d he d ci. f l a e h d go⁴⁸.
The SHINERS. a ellie e h d a . . ed. e a e he
elai. . hi be yee . c ead a ci i f P.Fe a ca al. .
Reco. . dia ha e h . ha P.Fe bi e allic. a ca al. a e
highl acie i. he ida i. f CO (ef 45,49). DFT calc lai. .
i dica e he high ac i i . a l f ef cio. acia i. f
gae . O₂ lec l a b . he c di a i el . a a aed Fe
co. . a i P.Fe (ef. 45). Di ec . ec . c ic e id ce i . ill
eeded. . e hi echa i. . The in situ SHINERS. a ellie
a eg i. d ced ab e ca e eal. he effec f he fe .
co. . a . he ef a ce f CO . ida i. .

The also ce a e f Fe i he P. Fe a ca al. de e i ed b XPS (g e da a i i he l e a. f Fig. 3a). F e fe ce, XPS, ec a f Fe i diffe o. ida i. a a e e ba i ed b c. l l g. he a l g de. h A + e i g (bl e, ed a d black c a i he e a. f Fig. 3a). Fe f ile e ed. he a he e i di e hile. he b lk a e al e a i ed e al lic f. The g e da a i i. Fig. 3a. h a Fe 2 3/2 eak a ~710.4 eV. We e f e d a dec l i. f he XPS, ec de e i e he che ical a a f he Fe e cia (l e a. f Fig. 3a) acc d i g. he lie a e⁵⁰ a d he e fe ce da a ba i ed f Fe fil i h diffe o. A + e i g. i a. The a l h ha Fe²⁺ e cia, a e ll a a e a l a f Fe⁰ e cia, a e o. i he bi e al lic ca al. I ca al be h e d ha he bi d i g e g i a f h a e e cia a e l i g h e h a h e i b lk Fe f il. Th i a be d e. h e l e Fe Fe c d i a i a d h i g e Fe P. c d i a i i he bi e al lic ca al., h i ch e l d lead e c e d e l e c i c i e a c i s. be e Fe a d P. (e f 51,52). A h i f f he X- a diff a c i a e f P. Fe c a e d. P. i dica a a h i k i g f he c a l la ice, e a i g. ha Fe f a a l i h P. (S le o. a Fig. 7). F he e, e l e a a a d l i e ca a h ha Fe e cia l ca e e c l e. P. e cia (S le o. a Fig. 8). The e f e, e e l i e e. he P. Fe bi e al lic ca al. ha a a l a. c e i h fe i d e i a face.

Fig. 9. b.c. a. the e f a c e f. the P. Fe bi e allic
a ca al. d a P. e allic a ca al. f CO
ida i. a diffe e e a. Cleal, the P. Fe ca al. i
ch e ac i e. ha. the P. ca al. CO i c le el e ed
b P. Fe, e a e e a e. The P. Fe a ca al. ca
al be ed f efe al ida i. f CO i. the e ce f
H₂, which i f i g i ca. i a ce f. the d ci f
highl e H₂. A h i S le a. Fig. 9, the P. Fe
ca al. i highl ac i e d. able i. the efe al ida i. f
CO a e a e.



each is a full deuterated. Figure 4a is the SHINERS-
 collected reflectance infrared spectra of Pd/C catalysts before
 30 and 150 °C. At low temperature (~30–50 °C), the intensity of
 the peak at 360 cm^{-1} is weak and the peak at 360 cm^{-1} is weak

and the peak at 490 cm^{-1} and the peak at the high
 wavenumber region at 1,935 and 2,061 cm^{-1} . The peak at 360
 and 1,935 cm^{-1} can be assigned to bridge and terminal CO on Pd,
 and the peak at 490 and 2,061 cm^{-1} can be assigned to linear

- © The Author(s) 2017